産総研
地質調査総合センター

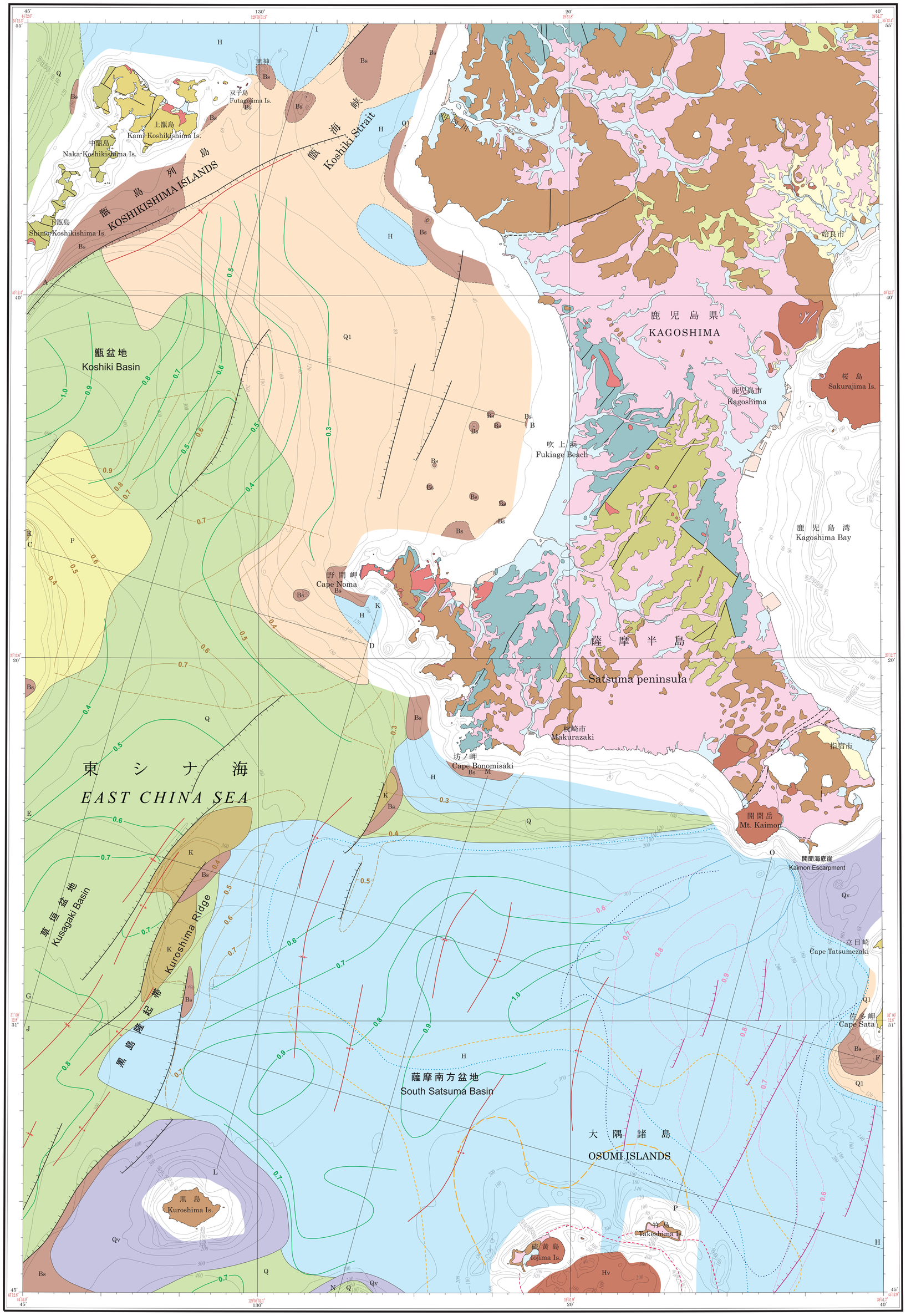
野 間 岬 沖 海 底 地 質 図

GEOLOGICAL MAP OFFSHORE OF CAPE NOMA MISAKI

1：200,000

岡村行信　海域作成　令和3年
川畑大作・斎藤　眞　陸域編集　令和3年

Offshore map made by Okamura Yukinobu in 2021
Onshore map compiled by Kawabata Daisaku and Saito Makoto in 2021



凡例　Legend

海域凡例　Offshore Legend

第四紀 Quaternary	完新世 Holocene	H層 Unit H	H	火砕物，砕屑物 Pyroclastics, clastic sediments
				池田カルデラ噴出物基底面　（断面図のみに示す） Base of pyroclastics from Ikeda Caldera (shown in cross sections)
		Hv層 Unit Hv	Hv	火山岩 Volcanic rocks
	中期更新世－完新世 Middle Pleistocene to Holocene	Q層 Unit Q	Q	火砕物，砕屑物 Pyroclastics, clastic sediments
	最終氷期 Last Glacier age	Q1層 Unit Q1	Q1	砕屑物 Clastic sediments
				入戸火砕流基底面　（断面図のみに示す） Base of Ito pyroclastics (shown in cross sections)
	更新世 Pleistocene	Qv層 Unit Qv	Qv	火山岩 Volcanic rocks
	前期－中期更新世 Early to Middle Pleistocene	P層 Unit P	P	堆積物 Sediments
新第三紀 Neogene	後期中新世－前期更新世 Late Miocene to Early Pleistocene	M層 Unit M	M	堆積物 Sediments
	前期中新世 Early Miocene	K層 Unit K	K	堆積物 Sediments
白亜紀－新第三紀 Cretaceous to Neogene		音響基盤 Acoustic Basement	Bs	火成岩類，堆積岩類 Igneous and sedimentary rocks

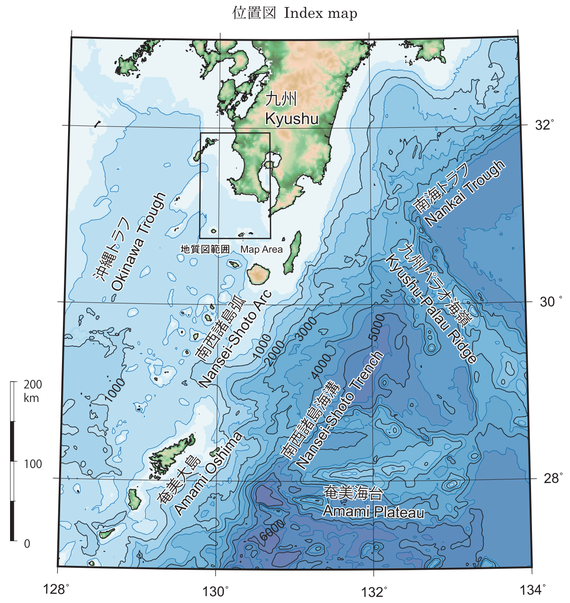
- 地質境界（破線は推定） Unit boundary (Broken where inferred)
- 正断層（後期更新世以降に活動，ケバは低下側を示す） Normal fault (Active in late Pleistocene and later, barbs on downthrown side)
- 正断層（ケバは低下側を示す） Normal fault (Barbs on downthrown side)
- 背斜軸 Anticlinal axis
- 向斜軸 Synclinal axis
- 鬼界カルデラ壁 Kikai Caldera wall
- 開聞岳南方の海底地滑り Seafloor slide south of Mt. Kaimon
- 池田カルデラ噴出物の厚さ 0.1 秒（往復走時）以上の分布範囲 Outline of pyroclastics from Ikeda Caldera thicker than 0.1 sec. in two-way travel time (TWT)
- 鬼界－アカホヤ噴出物の厚さ 0.1 秒（往復走時）以上の分布範囲 Outline of pyroclastics of the Kikai-Akahoya eruption thicker than 0.1 sec. in TWT
- 鬼界－アカホヤ噴出物の厚さ 0.2 秒（往復走時）以上の分布範囲 Outline of pyroclastics of the Kikai-Akahoya eruption thicker than 0.2 sec. in TWT
- 入戸火砕流堆積物の厚さ 0.1 秒（往復走時）以上の分布範囲 Outline of the Ito pyroclastics thicker than 0.1 sec. in TWT
- 0.8 入戸火砕流堆積物の基底等深線（秒，往復走時） Depth contour of the base of the Ito pyroclastics (sec. TWT)
- 0.8 Q 層基底等深線（秒，往復走時） Depth contour of the base of Unit Q (sec. TWT)
- 0.8 K 層及び基盤上面の浸食面分布域とその等深線（秒，往復走時） Outline and depth contour of the erosional surface of Unit K and basement (sec. TWT)

陸域凡例　Onshore Legend

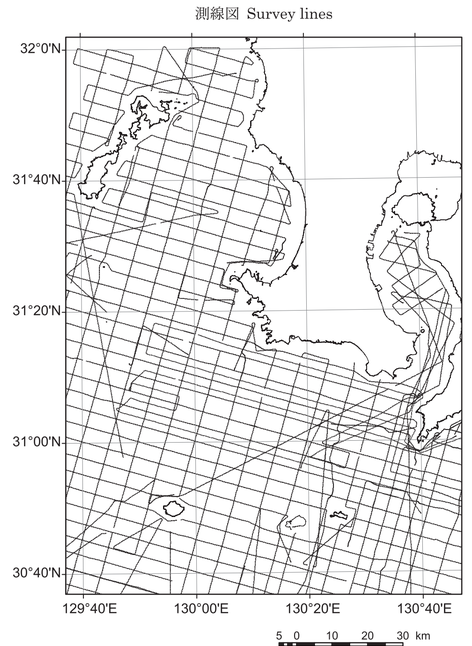
	埋め立て地 Reclaimed land	堆積物 Sediments	火山岩（火砕流堆積物を除く） Volcanic rocks except for pyroclastics	火砕流堆積物 Pyroclastics	花崗岩類 Granitic rocks	付加体 Accretionary prism	変成岩 Metamorphic rocks
第四紀 Quaternary 完新世 Holocene							
第四紀 Quaternary 更新世 Pleistocene							
新第三紀 Neogene 鮮新世 Pliocene							
新第三紀 Neogene 中新世 Miocene							
古第三紀 Paleogene							
白亜紀 Cretaceous							
ジュラ紀 Jurassic							

- 断層（破線は伏在） Fault (Broken where consealed)

位置図　Index map



測線図　Survey lines



著作権所有者・発行者　国立研究開発法人 産業技術総合研究所 地質調査総合センター

令和4年12月27日発行

1：200,000

0 5 10 15 20km

GEOLOGICAL SURVEY OF JAPAN © 2022
AIST22-G10093

水深……メートル
Soundings in meters

ランベルト正角円錐図法（標準緯線30°55′, 31°45′）
Lambert's Conformal Conic Projection
(Standard Parallels 30°55′ and 31°45′)

海上保安庁図誌利用 第20220005号
海底地形図は大陸棚の海の基本図（20万分の1海底地形図）第6351号 野間岬沖によります．
本図は海図ではありませんので航海には使用できません．
緯度経度の値は，旧日本測地系を黒字で，世界測地系を赤字で示す．

Base from the Japan Coast Guard with its approval.
This information is not intended for navigational purposes.
Latitude and longitude values of Tokyo Datum and World Geodetic System 1984 (WGS84) are shown in black and red respectively.

協同調査者

GH84-1航海乗船研究者
盛谷智之・中村光一・岡村行信・山崎俊嗣・氏家　治・宮崎純一

GH84-3航海乗船研究者
中尾征三・石橋嘉一・西村清和・中村光一・池原　研・川幡穂高

Collaborator

Scientific staffs on board during GH84-1 cruise
Moritani Tomoyuki, Nakamura Ko'ichi, Okamura Yukinobu, Yamazaki Toshitsugu, Ujike Osamu, Miyazaki Jun'ichi

Scientific staffs on board during GH84-3 cruise
Nakao Seizo, Ishibashi Kaichi, Nishimura Kiyokazu, Nakamura Ko'ichi, Ikehara Ken, Kawahata Hodaka

備考
厚さ及び深さは往復走時（秒）で示す．
厚さ約30 m（往復走時で約0.04秒）以下の薄い地層の分布は正確には表現されていない場合がある．
地層境界や断層位置には数百mの誤差が含まれている可能性がある．
断層の走向が不明な場合，断面図には示しているが，地質図には示していない．
地層境界の確実性が低い場合は破線で示す．
陸域地質は，20万分の1日本シームレス地質図V2（産総研地質調査総合センター，データ更新日:2020年4月6日，https://gbank.gsj.jp/seamless/）　より編集．

Remarks
Thickness and depth are shown by two-way travel time in seconds.
Distribution of sedimentary layers thinner than about 30 m (about 0.04 sec in two-way travel time) is not always shown precisely.
The locations of formation boundaries and faults may have errors of several hundreds meters.
If strikes of faults are unknown, the faults are shown on the sections, but not shown on the geological map.
Uncertain unit boundaries are shown by broken lines.
Onshore geological map was compiled from Seamless Digital Geological Map of Japan 1: 200,000 V2, April 6, 2020 version, Geological Survey of Japan, AIST (https://gbank.gsj.jp/seamless/).